

# بررسی تاثیر جنس خاک در حذف هیدروکربن‌ها از خاک‌های رسی آلوده با استفاده از الکتروکینتیک

نادر شریعتمداری و امین فلامکی

**چکیده:** یکی از روش‌های مورد توجه در رفع آلودگی از خاک‌های رسی فرایند الکتروکینتیک است. نتیجه فرایند الکتروکینتیک در خاک حرکت آب، یون‌ها و ذرات باردار در اثر اعمال میدان الکتریکی می‌باشد. در این تحقیق دو آزمایش بر روی دو رس با نام تجاری کائولن انجام گرفت. نمونه‌ها با فنل آلوده شده تا بازدهی فرایند در حذف آن از خاک تعیین گردد. تأثیر میدان‌های الکتریکی بر روی رس در شرایط جریان ثابت بررسی شد. آزمایش‌ها کوتاه‌مدت بوده و زمان آنها حدود ۵۰ ساعت بود. تغییرات  $H^+$ ، گرادیان الکتریکی، جریان الکتروواسمز و غلظت فنل در آند و کاتد و در طول نمونه اندازه‌گیری شد. فنل در خاک حرکت کرده و در یکی از آزمایش‌ها تا بیش از ۸۰ درصد از خاک استخراج گردید. با توجه به نتایج فرایند الکتروکینتیک در کوتاه‌مدت روش مؤثری است، هم‌چنین بهمنظور بررسی حرکت هیدروکربن‌های نفت در خاک‌های رسی آلوده به مواد نفتی، نمونه‌های طبیعی از منطقه پالایشگاه تهران تهیه و تحت میدان الکتریکی قرار گرفت. نتایج نشان داد که هیدروکربن‌های نفت به دلیل حلایلت کم، غیر قطبی بودن و جذب به خاک تحت تأثیر جریان الکتروواسمز و مهاجرت یونی قرار نمی‌گیرند. تزریق متناول به سلول آند یا به درون خاک در افزایش بازدهی تأثیر کمی دارد.

**واژه‌های کلیدی:** الکتروکینتیک، الکتروواسمز، هدایت الکتریکی

مولکول‌های آب به سمت قطب منفی (کاتد) به صورت جریان حاکم مشاهده می‌گردد. این جریان را جریان الکتروواسمز می‌نامند. واکنش‌های به عمل آمده در این روش به طور شماتیک در شکل ۱ مشاهده می‌شود. مطابق شکل در اثر اعمال میدان الکتریکی آب حفره‌ای به دلیل پدیده الکتروواسمز به کاتد حرکت می‌کند. در خاک‌های ریزدانه سرعت حرکت آب به میدان الکتریکی، مقاومت خاک در برابر جریان و اصطکاک یونها و مولکول‌های آب بستگی دارد. دبی جریان الکتروواسمز از رابطه تجربی زیر به دست می‌آید<sup>[1,2]</sup>:

$$q_e = k_e i_e A = k_i I \quad (1)$$

که  $k_e$  نفوذپذیری الکتروواسمز،  $k_i$  بازدهی الکتروواسمز برای انتقال آب،  $I$  جریان الکتریکی ( $A$ )،  $i_e$  گرادیان الکتریکی و  $A$  سطح مقطع می‌باشند. مقادیر  $k_e$  مستقل از ابعاد حفره‌ها و توزیع آنها در خاک بوده و بین  $10^{-5} \text{ cm}^2/\text{Vs}$  تا  $10^{-4} \text{ cm}^2/\text{Vs}$  متغیر می‌باشد. پارامتر  $k_i$  بیان گر بازدهی روش الکتروواسمز می‌باشد (حجم آب منتقل شده به ازای واحد بار الکتریکی عبور یافته).

الکتروکینتیک می‌تواند ناشی از مهاجرت ذرات یونی در اثر اعمال میدان الکتریکی نیز باشد. بهطور کلی در یک توده خاک اعمال

## ۱. مقدمه

### ۱-۱. پدیده الکتروکینتیک

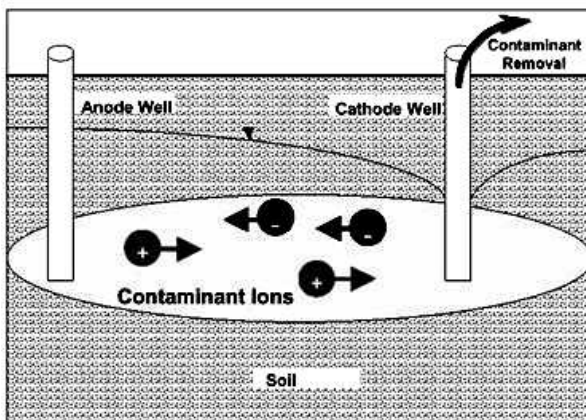
در اثر اعمال یک گرادیان الکتریکی در امتداد یک توده خاک رس اشباع، بارهای مثبت به سمت قطب منفی (کاتد) و بارهای منفی به سمت قطب مثبت (آند) جذب می‌شوند. در اثر حرکت یون‌ها به سمت قطب‌های غیرهمنام، مولکول‌های آب نیز در اثر نیروی اصطکاک با آن‌ها به حرکت در می‌آیند. از سوی دیگر به علت وجود بار منفی در سطح ذرات رسی، حرکت یون‌های مثبت و در نتیجه

نسخه اصلی مقاله در تاریخ ۱۳۸۲/۸/۲۷ واصل، و پس از بازنگری‌های لازم، در تاریخ ۱۳۸۳/۲/۲۶ به تصویب نهایی رسیده است.

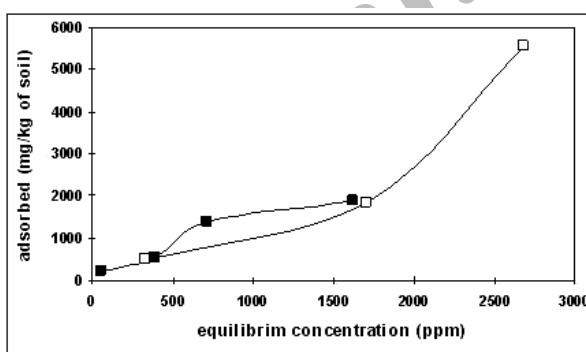
دکتر نادر شریعتمداری، (استادیار، دانشیار، استاد) دانشکده مهندسی عمران، دانشگاه علم و صنعت ایران، [shariatmadari@iust.ac.ir](mailto:shariatmadari@iust.ac.ir).

امین فلامکی، دانشجوی دکتری مهندسی عمران، دانشگاه علم و صنعت ایران، عضو هیأت علمی دانشگاه آزاد یاسوج، [afalamaki@civileng.iust.ac.ir](mailto:afalamaki@civileng.iust.ac.ir)

مثل Sr, Cs, Co, Pb, Hg, Cd, As و U هیدروکربن‌های کلرینه شده را به روش الکتروکنیتیک بررسی شد[5]. در ۱۹۹۶ بازدهی روش بر روی کائولینیت آلوده به روی و انرژی مصرف شده و اعمال روش-هایی برای بهینه‌سازی و افزایش بازدهی مکانیزم رفع آلودگی بررسی گردید[6]. در سال ۱۹۹۷ گزارشی درباره تزریق هم‌زمان آمونیم از آندوسولفات از کاتد به خاک ماسه ریزدانه و رس ارائه شد[7]. در این تحقیق انتقال آمونیم از آند به عنوان مواد مغذی و سولفات از کاتد به عنوان گیرنده الکترون تحت میدان الکتریکی، به منظور کاربرد در فرایند اصلاح زیستی بررسی شد. یکی دیگر از تحقیقاتی که در این زمینه انجام شد تزریق مواد مغذی به خاک‌های رسی با استفاده از الکتروکنیتیک در سال ۱۹۹۸ می‌باشد[8]. در سال ۲۰۰۳ رسی و PAHs را به کمک فعال‌کننده‌های سطحی از کائولین دفع نمودند. در همین سال در گزارش دیگری از ونگ[10] TCE با بیش از ۸۶ درصد بازدهی از خاک رسی آلوده حذف گردید.



شکل ۱. شماتیک فرایند الکتروکنیتیک [11]



شکل ۲. ظرفیت جذب رس سفید و زرد [11]

هدف اصلی از انجام این مطالعه بررسی امکان‌پذیری حرکت هیدروکربن‌ها در خاک‌های رسی و بازدهی رفع این گونه از آلودگی‌ها با استفاده از روش الکتروکنیتیک در مقیاس آزمایشگاهی می‌باشد. با توجه به کثرت مطالعات انجام شده در زمینه حذف فلزات از خاک‌های رسی با روش الکتروکنیتیک، این تحقیق بر روی حذف

گرادیان‌های شیمیایی، الکتریکی و سیالی سبب ایجاد جریان با شار مناسب با نیروی عامل آن خواهد شد[1]. از سوی دیگر در بیشتر موارد اعمال یک گرادیان، باعث ایجاد هم‌زمان جریان‌های دیگر خواهد شد. برای مثال اگر در اثر گرادیان هیدرولیکی آب حفره‌ای محتوی مواد شیمیایی جریان یابد، مواد شیمیایی نیز در خاک جریان می‌یابند. این انتقال مواد شیمیایی را "Advection" نامند. در خاک-های ریزدانه که سرعت جریان هیدرولیکی بسیار پائین است انتقال شیمیایی توسط «انتشار» صورت می‌گیرد. منظور از انتشار انتقال مواد در اثر گرادیان شمیایی است. با اعمال جریان مستقیم الکتریکی به وسیله الکترودهای زیر آب در آند اکسیداسیون ایجاد شده و یک جبهه اسیدی تشکیل می‌گردد. در حالی که در کاتد جبهه بازی ایجاد می‌شود:



وقتی که آب الکترولیز می‌شود pH در آند ممکن است به کمتر از ۲ کاهش یافته و در کاتد به بیش از ۱۲ افزایش می‌یابد. جبهه اسیدی تولید شده در آند در حین فرایند به سمت کاتد مهاجرت می‌کند. اگر ظرفیت بافری خاک باعث تأخیر انتقال جبهه اسیدی نشود انتقال یون هیدروژن در عرض نمونه حالت اسیدی را حکم‌فرما می‌نماید. ظرفیت تبادل کاتیون کانی و دسترسی مواد آلی و نمکی که با اسید واکنش می‌دهند ظرفیت بافری خاک را افزایش می‌دهد. رس‌های کائولینیتی در مقایسه با دیگر کانی‌ها مثل لیلت و مونت موریولینیت ظرفیت بافری پائین‌تری دارند که به دلیل ظرفیت تبادل کاتیون کمتر آن‌ها می‌باشد.

افزایش غلظت یون هیدروژن در استخراج فلزات مفید است زیرا یونهای هیدروژن تمایل به جایگزینی با فلزات چسبیده به سطوح رسی داشته و با پائین آوردن pH نیز از رسوب فلزات جلوگیری کرده و آنها را وارد به مهاجرت می‌نمایند. در رفع آلودگی مواد آلی احتمالاً اندازه مولکولها و تمایل به انباستگی یا جذب به سطح خاک عوامل اصلی کنترل بهمود خاک توسط الکتروکنیتیک می‌باشند. در غلظت بالای ذرات یونی واکنشهای الکتروشیمی، مهاجرت الکترولیت و انتقال آب در اثر اصطکاک بین یونها و آب عوامل مؤثر می‌باشند. پتانسیل کاربرد این فناوری برای رفع آلودگی طی چند تحقیق در ۱۹۸۶ مشخص گردید[3]. در این آزمایش‌ها پتانسیل مهاجرت الکتریکی مس از آب زیرزمینی بررسی شد. در ۱۹۹۱ حذف سرب از کائولینیت بررسی شد. تحقیقات نشان داد که حذف به دلیل مهاجرت در اثر گرادیان الکتریکی صورت گرفته است. در ۱۹۹۲ کاربرد الکترواسمر در رفع هیدروکربن‌ها از رس مورد آزمایش قرار گرفت. نتایج به دست آمده، پتانسیل رفع هیدروکربن‌ها و محلول‌های کلرینه از خاک‌های ریزدانه توسط جریان الکترواسمر مورد تأیید قرار داد اما برای کاربرد صحرایی این روش نیاز به تحقیقات بیشتری است[4]. در ۱۹۹۴ امکان‌پذیری رفع آلودگی ترکیبی از فلزات سنگین و موادی

دیده می‌شود. درصد رطوبت طبیعی این خاک ۲۶ درصد بود. خاک به رنگ قهوه‌ای تیره بوده که قسمت‌هایی از آن به دلیل وجود نفت کاملاً سیاه شده بود.

هیدروکربن‌ها متمرکز شد. در این تحقیق عواملی مثل جذب، هدایت الکتریکی، رفتار اسیدی - بازی و جریان الکترواسمز بررسی شد. همچنین تغییرات پتانسیل، بار الکتریکی و انرژی مصرفی نیز محاسبه گردید.

### جدول ۱. مشخصات رس زرد و سفید

درصد در رس سفید	درصد در رس زرد	نوع ترکیب
۶۷,۹۲	۵۸,۴۵	SiO <sub>2</sub>
۲۹,۶۹	۲۶,۰۲	Al <sub>2</sub> O <sub>3</sub>
۰,۳۳۸	۱,۳۱	Fe <sub>2</sub> O <sub>3</sub>
۰,۵۸۷	۱,۲۴	TiO <sub>2</sub>
۰,۶۷۳	۰,۶۳	CaO
--	۰,۲۵	MgO
۰,۲۰۶	۰,۴۷	K <sub>2</sub> O
--	۰,۰۷۳	Na <sub>2</sub> O
--	۰,۶۶	SO <sub>3</sub> 2-
--	۱,۶۱	نمکهای محلول
--	۱۰,۸۸	L.O.I

### ۲-۲. دستگاه آزمایش

در شکل ۳ سلول الکتروشیمی مورد استفاده نشان داده شده است. این مجموعه دارای ۳ استوانه به قطر ۱۵۲ mm است. دو استوانه انتهایی به طول ۷۲.۲ mm می‌باشند و سیال کاتد و آند در این دو قرار می‌گیرد. استوانه میانی به طول ۱۵۲ mm است و نمونه خاک در آن قرار می‌گیرد. در دو طرف این استوانه الکترودها واقع می‌شوند. به منظور جلوگیری از عبور ذرات رس به داخل مخازن آند و کاتد و گرفتگی سوراخهای الکترودها از کاغذ صافی در دو انتهای نمونه خاک استفاده شد. جنس کل مجموعه به جز الکترودها "Plexiglass" است. برای اینکه محلول مخازن و استوانه‌ها یکنواخت شود در مسیر لوله‌های ارتیاطی آنها لوله‌هایی وجود دارد که به پمپ‌ها متصل است. هوا وارد مسیر شده و محلول را در این مخازن و استوانه‌ها به گردش وامی دارد. در همه آزمایش‌ها از صفحات متخلف فولادی ضد زنگ به عنوان آند و ورقه‌های فولاد ضد زنگ مشبك به عنوان کاتد استفاده شد (الکترود آند دارای تخلخل بوده به شکلی که آب به راحتی از آن عبور می‌کند مانند سنگ متخلف). اما الکترود کاتد ورقه فلزی بوده که بر روی آن شبکه‌ای از حفره‌ها به قطر 2.5 mm ایجاد شده است. این الکترودها به شکلی است که ذرات سیال حفره‌ای از درون آن عبور کرده و وارد استوانه‌ها می‌شود. فاصله سوراخهای الکترود کاتد 6.25 mm می‌باشد تا جریان یکنواختی از سلول عبور نماید. در سه آزمایش از یک منبع تغذیه غیر کارخانه‌ای برای اعمال جریان الکتریکی استفاده شد. حداقل ظرفیت این دستگاه یک آمپر و ۹۰ ولت است.

### ۲. روش تحقیق و برنامه آزمایشها

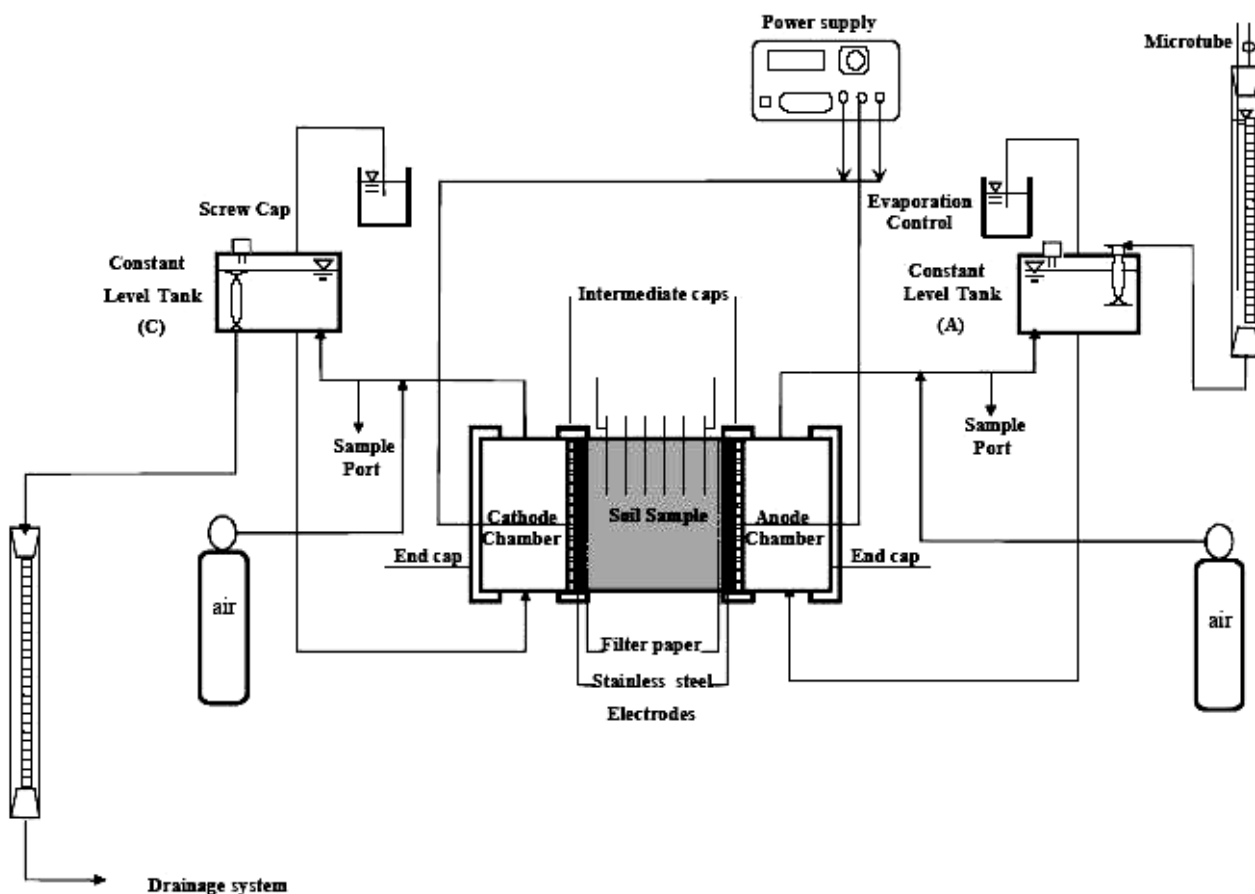
#### ۲-۱. مصالح مصرفی

بازدهی الکترواسمز با افزایش درصد رطوبت و کاهش فعالیت خاک افزایش می‌یابد [1]. برای بررسی بازدهی الکترواسمز در حذف فنل از دو نوع خاک کائولینیت تجاری استفاده شد. در جدول ۱ خصوصیات این دو نوع کانی دیده می‌شود. خاک‌ها به رنگ سفید و زرد می‌باشد. با توجه به جدول، فلزات رس زرد مخصوصاً آهن و تیتانیم آن بسیار بیشتر از رس سفید است. این خاک دارای نمک‌های محلول نیز است که موجب افزایش هدایت الکتریکی آن نسبت به رس سفید می‌شود. زیرا این نمک‌ها در محلول به شکل آنیون و کاتیون در می‌آینند. وجود این عناصر فلزی در رفتار این دو رس نسبت به جریان الکتریکی، تأثیر زیادی دارد. پیش‌بینی می‌شود که رس سفید به دلیل اختلاف زیاد در آنیون و کاتیون جریان الکترواسمز بیشتری داشته باشد.

ظرفیت تبادل یون که بیان گر ظرفیت جذب خاک برای یک یون مشخص است، معمولاً به واحد شکل میلی اکیوالان به ازای ۱۰۰ گرم خاک خشک بیان می‌شود. برای تعیین ظرفیت تبادل فنل برای این دو رس در آزمایشگاه، ابتدا ۲۵ cc محلول‌های فنل و آب مقدار در غلظت ۱۰۰، ۵۰۰، ۱۰۰۰ و ۲۰۰۰ میلی گرم در لیتر با ۵ گرم خاک خشک در لوله‌های سانتریفوژ مخلوط گردید. نمونه‌ها به مدت ۴۸ ساعت در این لوله‌ها گذاشته شده و به مدت بیش از ۱ ساعت مرتعش گردید. سپس به مدت ۱۵ دقیقه با سرعت بیش از ۵۷۰۰ rpm سانتریفوژ شده تا فاز مایع و جامد جدا شود. فاز مایع با استفاده از رنگ‌سنجی برای تعیین غلظت فنل آنالیز شد. تفاوت غلظت اولیه و غلظت مایع به تعادل رسیده بیان گر مقدار جذب شده به خاک است. در شکل ۲ نمودار مقدار جذب شده فنل نسبت به غلظت به تعادل رسیده در رس دیده می‌شود. بر اساس نتایج به دست آمده مقدار جذب رس سفید حدود ۲۰۰۰ و مقدار جذب رس زرد بیش از ۶۰۰۰ به ازای هر گرم خاک خشک است [۱]. ظرفیت جذب کائولینیت برای عناصر مختلف حدود ۱۰۰۰ تا ۱۰۰۰۰ در هر گرم خاک گزارش شده است [6].

فنل مورد استفاده به عنوان آلودگی به شکل بلوری بوده که درجه خلوص آن بسیار بالا می‌باشد مولکول این ماده قطبی بوده و قابلیت حل آن در آب نسبتاً بالا می‌باشد (۸/۲ گرم در ۱۰۰ آب).

برای بررسی حذف مواد نفتی از خاک رسی مقداری از خاک رس منطقه پالایشگاه تهران که آلوده به ترکیبات نفتی است تهیه شد. این خاک از کنار مخزن سولفور پالایشگاه گرفته شد. رس این منطقه به شدت آلوده به مواد نفتی بوده به شکلی که توده‌های سیاه نفت در آن



شکل ۳. سلول الکتروشیمی مورد استفاده [۱۱]

حجم آن مشخص بود نمونه‌هایی تهیه شده تا وزن خشک و درصد رطوبت و نشانه خلاً محاسبه شود. این مشخصات در جدول ۲ دیده می‌شود. برای نمونه‌سازی یکنواخت از خاک پالایشگاه، ابتداء خاک که به شکل کلوخ بود خرد و الک گردید. آن گاه مخلوط مطابق روش گفته شده درون سلول قرار گرفت. در آزمایش شماره ۷ (جدول ۲) محلول آب مقطمر - متابول با ۲۵ درصد حجمی در ابتدای آزمایش در سلول آند و استوانه شیشه‌ای و منبع ریخته شد تا در حین فرایند و در اثر جریان الکترواسمز متابول درون خاک تزریق شود و تأثیر آن در بازدهی بررسی گردد. در آزمایش شماره ۸ (جدول ۲) ابتداء مقدار مشخصی محلول آب مقطمر - متابول با مقدار مشخصی خاک مخلوط شده به طوری که مقدار متابول ۱۰۰ cc به ازی هر کیلوگرم خاک خشک باشد. آنگاه نمونه درون سلول قرار داده شد.

#### ۲-۴ برنامه آزمایش‌ها

بهمنظور بررسی تأثیر نوع خاک در بازدهی دو آزمایش در شرایط یکسان بر روی نمونه‌های رس سفید و زرد انجام شده است. جریان الکتریکی باشدت ۱۸۰ میلی‌آمپر به هر دو نمونه خاک اعمال شد. در جدول ۲ زمان آزمایش، انرژی اعمال شده، حجم جریان و سایر

#### ۲-۳. نمونه سازی

در آزمایش‌های رس آلوده به فنل (آزمایش شماره ۱ و ۴، جدول ۲) مقدار مشخصی فنل در آب حل شده و سپس به ۵ کیلوگرم خاک اضافه شد. محلول به شکلی تهیه می‌شد که غلظت فنل در خاک ۹۵۰ g به‌ازای هر کیلوگرم خاک خشک باشد. نمونه حدود ۱ ساعت هم زده شده تا کاملاً یکنواخت گردد. سپس بین ۳ تا ۵ ساعت برای ایجاد رطوبت و توزیع یکنواخت آلودگی در ظروف در بسته قرار گرفت. از محلول اولیه و خاک برای تعیین غلظت فنل و درصد رطوبت نمونه‌هایی تهیه می‌شد.

باید یادآوری کرد که روش استاندارد و تعریف شده‌ای برای نمونه‌سازی وجود ندارد. نکته مهم در نمونه‌سازی ساختن یک خمیر یکنواخت با درجه اشیاع بالا است. برای ایجاد نمونه یکنواخت از هم‌زن استفاده گردید. سپس این خمیر با دست به قطعات کوچک تقسیم شده و درون سلول اصلی قرار می‌گرفت. از مشکلات این بخش وجود هوا در حین قرار دادن نمونه در استوانه است. این هوا باعث کاهش بازدهی می‌باشد. در حین نمونه‌سازی سعی شد که حتی الامکان از این حباب‌های هوا در نمونه اجتناب شود که تقریباً غیر ممکن بود. در حین نمونه‌سازی با استفاده از یک استوانه که

جدول ۲- خلاصه‌ای از وضعیت آزمایش‌ها

شماره آزمایش					مشخصات آزمایش
۸	۷	۶	۴	۱	
طبیعی	طبیعی	طبیعی	زرد	سفید	نوع خاک رسی
موادنفتی	موادنفتی	موادنفتی	فنل	فنل	نوع آلودگی
b	b	a	a	a	نوع الکتروود آند
b	b	b	b	b	نوع الکتروود کاتند
0.180	0.180	0.180	0.180	0.180	شدت جریان اعمال شده (A)
1.02	1.02	1.02	1.02	1.02	(mA/cm <sup>2</sup> )
1814	1862	1822	1648	1950	دانسیته (kg/m <sup>3</sup> )
1300	1370	1350	1100	1598	دانسیته خشک (kg/m <sup>3</sup> )
40	36	35	50	22	درصد رطوبت (%)
1.08	0.97	1.0	1.45	0.69	نشانه خلا
100	100	95	93	87	درجه اشتعال (%)
0.52	0.49	0.5	0.59	0.47	تخلخل
1434	1351	1379	1627	1296	حجم حفره‌ای (cc)
49	42	60	46	45	مدت زمان آزمایش (h)
189	317	122	55	227	انرژی مصرفی (kwh/m <sup>3</sup> )
28000	28000	64000	950	950	غلظت اولیه (ppm)
859	557	735	123	420 <sup>c</sup>	جریان کل (cc)
0.60	0.41	0.61	0.076	0.324	جریان کل نسبت به حجم حفره‌ای
صفحه مشک فولادی ضخیم <sup>c</sup>					a صفحه متخلف فولادی ضخیم <sup>b</sup>

خاک با ۲۵ cc آب مقطور در لوله‌های سانتریفوژ قرار داده و به مدت ۱ ساعت مرتعش شد. سپس نمونه‌ها به مدت ۵۰ دقیقه با سرعت ۵۷۰۰ rpm سانتریفوژ گردید. با استفاده از رنگ‌سنگی فنل محلول استخراج شده اندازه‌گیری شد. در پایان مقدار دقیق فنل با توجه به حجم رفیق شده آن و درصد رطوبت خاک محاسبه گردید.

طی ۵ آزمایش انجام شده، جریان ثابت ۱۸۰ میلی آمپر به مدت ۵۰ ساعت به خاک اعمال گردید. در فواصل زمانی مختلف اختلاف پتانسیل دو سر الکتروود با استفاده از یک ولتمتر اندازه‌گیری شد. نمونه‌هایی از محلول‌های کاتند و آند در زمان‌های مختلف تهیه و با استفاده از این نمونه‌ها تغییرات pH و هدایت الکتریکی به دست آمد. غلظت فنل در نمونه محلول‌های گرفته شده به روش رنگ‌سنگی تعیین گردید. این روش بر اساس دستورالعمل ASTM D1783-91 بوده و بر اساس واکنش فنل تقطیر شده در آب با آمینو آنتی پیرین در مجاورت فروسینات پتاسیم می‌باشد. رنگ حاصل از آنتی پیرین با کلروفرم استخراج شده و با فتوتمتر در طول موج 460 nm قرائت می‌شد و غلظت بر حسب mg/l برای فنل به دست می‌آمد. مقدار مواد نفتی در آزمایش‌های دسته سوم و چهارم بر اساس دستورالعمل ASTM D5368-97 تعیین شد. بر اساس این دستورالعمل ابتدا حجم مشخصی از محلول را در ۱۰۰cc تا ۳۰۰cc حلال در دو مرحله ترکیب کرده و به مدت ۲۰ دقیقه تکان داده شد.

مشخصات ارائه شده است. هر دو نمونه به شکلی ساخته شده که غلظت اولیه فنل در خاک حدود ۹۵۰ mg به ازای هر کیلوگرم خاک خشک می‌باشد. درصد رطوبت اولیه نمونه‌ها بین ۲۲ تا ۵۰ درصد است. زمان آزمایش‌ها تقریباً یکسان و حدود ۴۵ ساعت در نظر گرفته شد تا بازدهی بر اساس انرژی اعمال شده مشخص شود. سه آزمایش بر روی نمونه‌های تهیه شده از پالایشگاه تهران انجام شد. در هر سه آزمایش جریان ثابت ۱۸۰ mA اعمال گردید. در یک آزمایش بهمنظور افزایش بازدهی متابول به عنوان حلal مواد نفتی از سلول آند به میزان ۸۵ درصد حجمی محلول با آب در حین فرآیند به خاک تزریق شد. در آزمایش دیگر متابول در حین نمونه‌سازی به خود خاک اضافه گردید. مقدار متابول در خاک ۱۰۰ به ازای هر کیلوگرم خاک خشک در نظر گرفته شد علت انتخاب متابول به شرح زیر است: ۱- حلال مواد نفتی است. ۲- در آب محلول است. ۳- خطر محیط زیستی ندارد. ۴- با توجه به اینکه از روش حرارتی برای اندازه‌گیری نفت در خاک استفاده می‌شود متابول که نقطه تبخیر پائینی دارد انتخاب گردید تا در حین اعمال حرارت متابول تبخیر شده و به عنوان یک هیدروکربن مزاحم در اندازه‌گیری نفت خاک وجود نداشته باشد (نقطه تبخیر متابول ۸۰ درجه سانتی‌گراد است). در انتهای آزمایش نمونه خاک از سلول خارج و به ۶ قسمت تقسیم گردید. درصد رطوبت هر قسمت و میزان فنل یا مواد نفتی درون خاک اندازه‌گیری شد. برای اندازه‌گیری فنل موجود در خاک ابتدا ۲۵ از

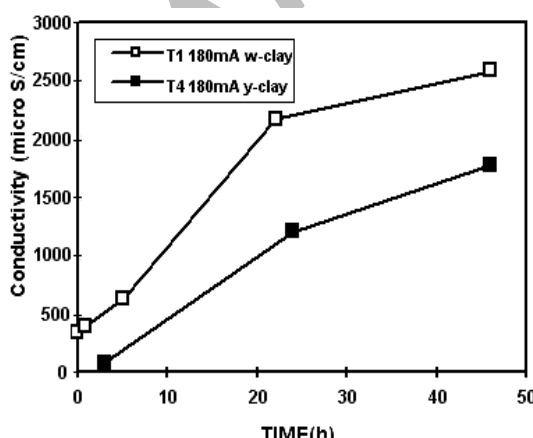
همچنین جدول ۲ از غلظت یونی کمتری برخوردار است. بنابراین جریان الکترواسمز در آن بیشتر است. در واقع نتایج تجربی و تحلیلی این مسأله نیز تائید کرده‌اند.

همانطور که در اشکال ۶ و ۷ دیده می‌شود تغییرات pH برای دو نمونه نسبت به زمان در سلول آند و کاتند رسم شده است. قدرت انتقال در شدت جریان بالا در رس سفید مانع از تغییرات pH در سلول آند نسبت به زمان شده است. چون جریان به سمت کاتند است و تعداد کاتیون‌ها بیشتر است تغییرات pH در کاتند سریع بود و به حدود ۱۲ افزایش یافته و با گزارشات موجود مطابقت دارد.

#### ب- گرادیان الکتریکی، مقاومت خاک، انرژی مصرفی و بازدهی

در شکل ۸ گرادیان الکتریکی در آزمایش ۱ و ۴ ترسیم شده است. آزمایش ۱ که نمونه رس سفید است گرادیان پس از ۲۷ ساعت که جریان الکترواسمز نیز به شدت کاهش یافته به  $6 \text{ V/cm}$  رسیده و ثابت مانده است. در حالی که در رس زرد گرادیان در پایان آزمایش حدود  $1.5 \text{ V/cm}$  می‌باشد. علت ثابت ماندن گرادیان در رس سفید (که غلظت یونی آن کم است) این است که جریان الکترواسمز قطع شده و هدایت سطح خاک به مرور افزایش یافته و جریان الکتریکی را سطح خاک عبور می‌دهد. در نتیجه نمونه به یک حالت ماندگار رسیده است [12]. اما در رس زرد به دلیل بالا بودن یون‌های فلزی، گرادیان با سرعت کمتری افزایش می‌یابد. بنابراین مقاومت آن نیز کمتر از رس سفید بوده و تغییرات آن کندتر می‌باشد. حضور یون‌های زیاد در رس زرد مانع از رسیدن نمونه به مقاومت نهایی پس از ۵۰ ساعت شده است.

هر چه گرادیان الکتریکی بزرگ‌تر باشد انرژی مصرف شده بیشتر خواهد بود. بنابراین مطابق شکل ۹ انرژی مصرفی در آزمایش ۱ بیش تر از ۴ می‌باشد، زیرا گرادیان آن در طول بزرگ‌تر است.



شکل ۵. تغییرات هدایت الکتریکی نسبت به زمان، در سلول کاتند

سپس در هر مرحله فاز آبی و حلal آلی جدا گردیده و در حمام بخار قرار می‌گرفت تا حلal (که نقطه جوش آن حدود  $80^\circ\text{C}$  است) تبخیر شده و مواد نفتی در ظرف باقی بماند و سپس باقیمانده وزن گردید. نوع حلal به کار رفته در این آزمایش SRG light بود.

#### ۳. تحلیل نتایج آزمایش

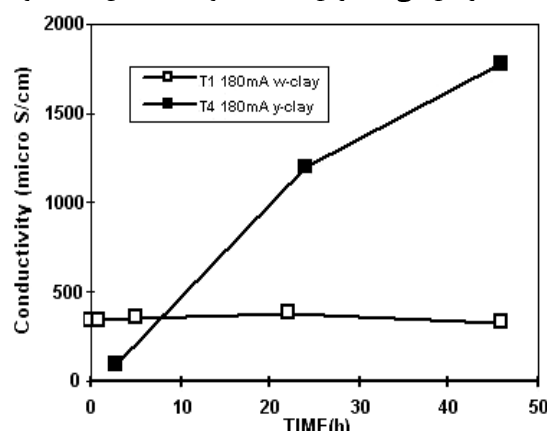
##### ۳-۱. مقایسه نتایج رس سفید و رس زرد

###### الف - جریان الکترواسمز

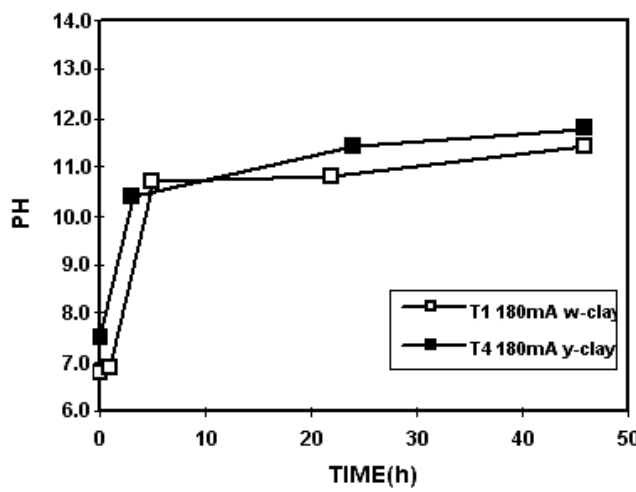
حدود ۲۴ ساعت پس از شروع آزمایش ۱ جریان الکترواسمز قطع گردید. اما در آزمایش ۴ با وجود اینکه عناصر فلزی رس زرد بیشتر است جریان الکترواسمز حتی در پایان فرایند ادامه دارد. درصد رطوبت نمونه‌های رس سفید و زرد در این آزمایش‌ها به ترتیب ۲۲ و ۵۰ درصد و نشانه خلاً به ترتیب  $0/6$  و  $1/45$  می‌باشد. نشانه خلاً کوچک‌تر در خاک سفید به معنی کوچک بودن حفره‌ها و کاهش حجم حفره‌ای کل نمونه نسبت به خاک زرد است. شاید یکی از دلایل قطع سریع جریان الکترواسمز در خاک سفید کوچک بودن این حفره‌های باشد. زیرا یون‌های فلزی نزدیک کاتند که خاک نزدیک به آن دارای خاصیت بازی است رسوب کرده و این رسوب به سرعت حفره‌های کوچک خاک سفید را پر نموده و مانع از انتقال جریان الکترواسمز می‌شوند.

تغییرات pH و هدایت الکتریکی در سلول کاتند و آند در شکل ۴ و ۵ تغییرات هدایت الکتریکی نسبت به زمان، در سلول آند و کاتند برای رس سفید و زرد دیده می‌شود. با توجه به اینکه درصد یون رس زرد نسبت به سفید بیشتر است، تغییرات هدایت در آزمایش ۴ بزرگ‌تر از آزمایش ۱ است.

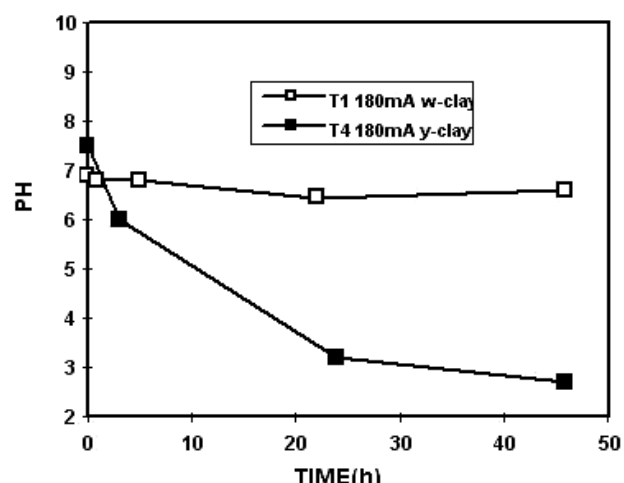
اگر به جدول ۲ مراجعه شود، حجم جریان کل در رس سفید در طی ۳۰ ساعت، بیشتر از حجم جریان کل رس زرد در طی ۴۶ ساعت است. بنابراین می‌توان نتیجه‌گیری کرد که جریان الکترواسمز برای دو نمونه متفاوت اما با دانسیته الکتریکی یکسان، با کاهش غلظت یونی خاک افزایش می‌یابد. رس سفید با توجه به شکل‌های ۴ و ۵



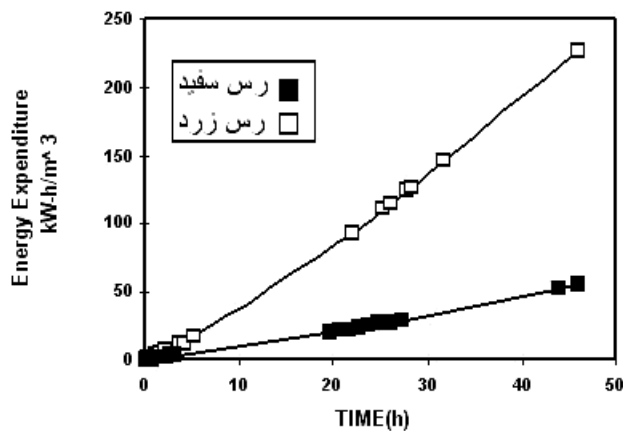
شکل ۴. تغییرات هدایت الکتریکی نسبت به زمان، در سلول آند



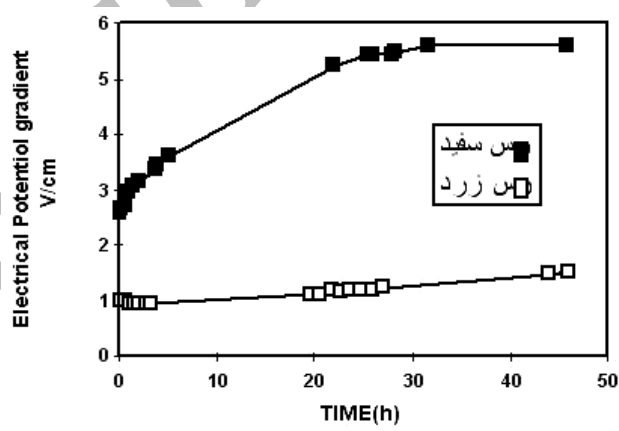
شکل ۷. تغییرات pH نسبت به زمان، در سلول کاتد



شکل ۶. تغییرات pH نسبت به زمان در سلول آند



شکل ۹. تغییرات انرژی مصرفی نسبت به زمان



شکل ۸. تغییرات گرادیان الکتریکی نسبت به زمان

باقی مانده است در حالی که در رس سفید فقط ۲۰ درصد فنل از آن خارج نشده است.

یک دیگر از عوامل مؤثر در رفع آلودگی به روش الکتروکینتیک ظرفیت جذب یونی خاک است. ظرفیت جذب یون رس سفید حدود ۶۰۰۰ mg/kg است. در حالی که برای رس زرد بیش از ۶۰۰۰ mg/kg می‌باشد. بنابراین فنل به سختی از رس زرد استخراج می‌شود. ظرفیت بافری خاک از دیگر عوامل مؤثر می‌باشد. اما چون ظرفیت بافری این دو خاک به هم شبیه است، بنابراین در اینجا اهمیت چندانی ندارد.

رفع فنل از رس زرد به آزمایش‌های طولانی مدت نیاز دارد تا انرژی مصرفی و حجم عموری جریان الکتریکی نیز بررسی گردد. در حین حرکت فنل در اثر مهاجرت الکتریکی نیز بررسی گردد. درین موازنه جرم در آزمایش‌های دسته اول و دوم تا ۲۴ درصد خطا به دست آمد. منشأ این خطا سه عامل زیر است:

- ۱- در حین نمونه‌سازی و هنگام تخلیه در پایان آزمایش مقداری از فنل تبخیر شده است.

در شکل ۱۰ تغییرات غلظت فنل در سلول کاتد نسبت به زمان نشان داده شده است. اختلاف زیادی در استخراج فنل از رس سفید و زرد در شرایط یکسان دیده می‌شود. با توجه به شکل ۱۱ ۸۰ درصد غلظت فنل در قطعات مختلف را نشان می‌دهد، بیش از ۸۰ درصد از فنل در رس سفید از خاک خارج و به سلول کاتد جذب شده، در حالی که در رس زرد فقط ۲۰ درصد فنل از خاک خارج شده است. بنابراین در رس سفید که غلظت کاتیونها کم است جریان الکترواسمز سهم قابل توجهی در فرایند رفع آلودگی دارد. این مسأله به خصوص در شکل ۱۰ قابل مشاهده است، زیرا بعد از قطع جریان الکترواسمز غلظت در سلول کاتد با سرعت کمی افزایش می‌یابد یا ثابت مانده است. تحقیقات اخیر نیز نشان داده‌اند که در غلظت کم کاتیون‌ها، جریان الکترواسمز در رفع آلودگی نقش اصلی را به عهده دارد [12].

در غلظت‌های بالای ذرات یونی (مانند رس زرد) واکنش‌های الکتروشیمیایی و مهاجرت الکتریکی مؤثرتر از الکترواسمز است [12]. در شکل ۱۲ تغییرات فنل در طول نمونه رس سفید و زرد در انتهای فرایند دیده می‌شود. مقدار زیادی از فنل (۸۰ درصد) در رس زرد

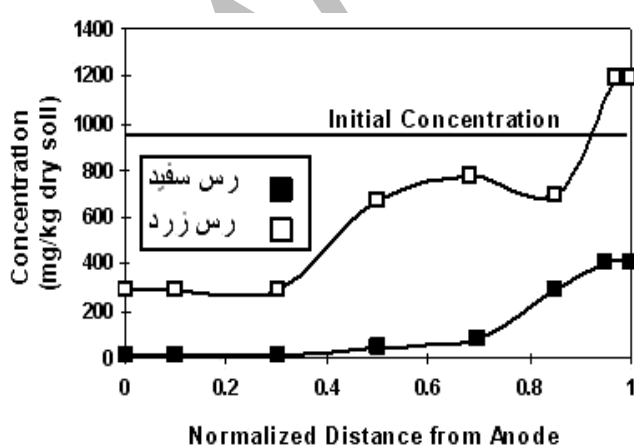
حدی قطبی است. از طرفی چون این ماده مانند یک فعال کننده سطحی عمل می‌کند، میزان تحرک یون‌ها را افزایش می‌دهد. این تحرک می‌تواند موجب افزایش جریان الکترواسمز گردد.

### ج- انرژی مصرفی و بازدهی

در شکل ۱۵ مقدار انرژی مصرفی بهازی واحد حجم خاک نسبت به زمان ترسیم شده است. انرژی مصرفی در انتهای آزمایش ۶، ۷ و ۸ به ترتیب ۳۱۷، ۳۰۸ و ۱۸۹ کیلو وات ساعت بهازی واحد حجم خاک می‌باشد. در هر سه آزمایش با افزایش زمان سرعت مصرف انرژی نیز بیشتر شده است. در شکل ۱۶ غلظت نفت در طول نمونه در پایان آزمایش ۶ دیده می‌شود. غلظت اولیه  $64000 \text{ mg/kg}$  بود. با توجه به شکل دیده می‌شود که بازدهی بسیار کم است. علت پائین بودن بازدهی، قدرت جذب مواد نفتی به خاک می‌باشد. هیدروکربن‌های نفت به شدت جاذب خاک هستند. از طرفی چون این مواد حلالیت کمی در آب دارند، جریان الکترواسمز قادر به حرکت چنین موادی در خاک نیست. این هیدروکربن‌ها اکثرًا غیرقطبی بوده و میدان الکتریکی نمی‌تواند آنها را مهاجرت دهد.

تحقیقات نشان داده که الکتروکینتیک برای رفع آلودگی مواد آلی باشد جاذبه کم روش مؤثری است. ذرات غیر یونی مانند ترکیبات آلی زمانی در خاک حرکت می‌کنند که جریان الکترواسمز بتواند آنها را حرکت دهد. این ترکیبات نباید جاذب باشند [12].

در شکل ۱۶ غلظت نفت در طول نمونه در پایان آزمایش ۷ و ۸ دیده می‌شود. در آزمایش ۷ که محلول آب‌مقطمر - مтанول در سلول آند ریخته شده بازدهی پائین است. در واقع متابولو تأثیری در افزایش بازدهی نداشته است. احتمالاً علت آن تزریق کم متابولو از سلول آند به درون نمونه خاک می‌باشد. با توجه به جدول ۲ کل جریان الکترواسمز نسبت به حجم حفره‌ای در آزمایش ۷، ۴۱ درصد است. این رقم پائین بیانگر تزریق کم متابولو به خاک می‌باشد.



شکل ۱۱. غلظت فنل در قطعات مختلف

۲- خاک به ۶ قسمت تقسیم شده و مقدار فنل در انتهای آزمایش در نمونه خاک به روش متوسط وزنی محاسبه شده است.

۳- برای اندازه‌گیری فنل در خاک با توجه استاندارد گفته شده فاز محلول موجود در خاک استخراج و میزان فنل در آن تعیین شد. از اندازه‌گیری فنل در فاز جامد خاک صرف نظر گردید. با توجه به اینکه نمونه‌های سلول کاتد به شکل محلول بوده و اندازه‌گیری بر روی از محلول از دقت بالایی برخوردار است، مقادیر ارائه شده استخراج فنل از خاک از دقت خوبی برخوردار می‌باشد.

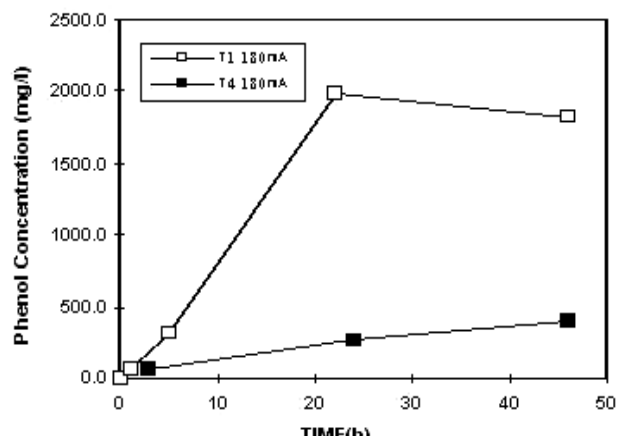
### ۲- نتایج آزمایش رس طبیعی، آلوده به مواد نفتی

#### الف- جریان الکترواسمز

در شکل ۱۳ حجم کل جریان الکترواسمز در هر سه آزمایش که از قسمت آند به خاک جریان یافته دیده می‌شود. حجم کل جریان در آزمایش ۶ پس از حدود ۵۵ ساعت  $725 \text{ cc}$  می‌باشد. این حجم معادل  $53$  درصد حجم حفره‌ای نمونه است. جریان الکترواسمز در این آزمایش به مرور زمان کاهش می‌یابد.

در آزمایش ۷ به دلیل نشت دستگاه اندازه‌گیری جریان از دقت بالایی برخوردار نبود. نکته قابل توجه این است که در اثر عبور جریان الکترواسمز محلول آب‌مقطمر - متابولو از سلول آند به درون خاک تزریق می‌شود. جریان کل نسبت به حجم حفره‌ای حدود  $41$  درصد بود. این کمیت بیان‌گر این است که مقدار کمی از متابولو به درون بافت خاک وارد شده است. بنابراین نباید انتظار داشت که بازدهی افزایش یابد. به دلیل این انتقال کم متابولو از سلول آند به خاک، تصمیم گرفته شد که متابولو در حین نمونه‌سازی به درون خاک ریخته شده و به این منظور آزمایش  $8$  انجام گرفت.

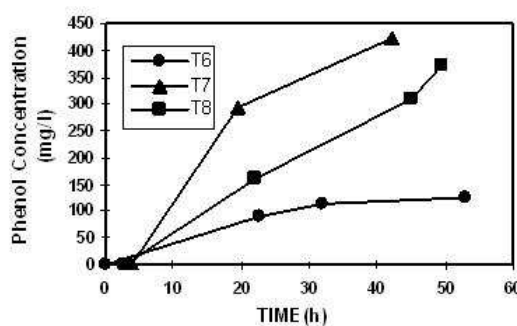
حجم کل جریان در انتهای آزمایش  $8$  پس از  $49$  ساعت حدود  $859 \text{ cc}$  بود. این حجم معادل  $60$  درصد حجم حفره‌ای است. در انتهای این آزمایش جریان الکترواسمز ادامه داشت. شاید یک دلیل افزایش حجم جریان الکترواسمز در آزمایش  $8$  نسبت به دو آزمایش قبل وجود متابولو در خاک باشد. متابولو یک الکل بوده که مولکول آن تا



شکل ۱۰. تغییرات غلظت فنل در سلول کاتد نسبت به زمان



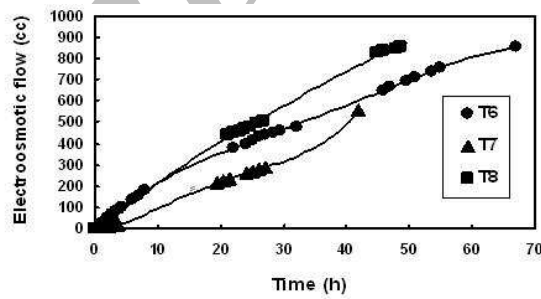
شکل ۱۲. غلظت نهایی به غلظت اولیه در سلول الکتروشیمی و موازنۀ جرم



شکل ۱۴. تغییرات غلظت نفت در سلول کاتد با زمان

سهم قابل توجهی در فرایند رفع آلودگی دارد. فنل که یک ماده قطبی قابل حل در آب می‌باشد، توسط جریان الکترواسمز از آن خارج می‌شود. رسوب یون‌های فلزی نزدیک کاتد موجب قطع جریان الکترواسمز و مانع از حذف کامل فنل از خاک می‌شود. با توجه به غلظت کم یون‌های این خاک‌ها مقاومت آن‌ها بیشتر است و نمونه سریع به مقاومت نهایی خود می‌رسد. با کاهش غلظت یونی در خاک هدایت سطح خاک افزایش یافته و الکتریسیته توسط آنها عبور می‌کند. در این شرایط نمونه به یک حالت ماندگار می‌رسد. در خاک‌هایی که غلظت کاتیون‌ها زیاد است، جریان الکترواسمز سرعت بسیار کمتری داشته و عوامل مؤثر در رفع آلودگی، واکنش‌های الکتروشیمی و مهاجرت یونی می‌باشد. رسوب در این خاک‌ها نیز وجود دارد. اما زمان قطع جریان الکترواسمز در اثر رسوب طولانی‌تر است. چون غلظت یون‌ها بالا است مقاومت آنها کم‌تر بوده و نسبت به خاک‌هایی که غلظت یونی کمتری دارند تغییرات هدایت در سلول آند و کاتد بیشتر می‌باشد.

از دیگر عوامل مؤثر در رفع آلودگی، ظرفیت جذب یونی خاک است. رس زرد که ظرفیت جذب بیشتری نسبت به رس سفید دارد بازدهی کمتری نشان می‌دهد.

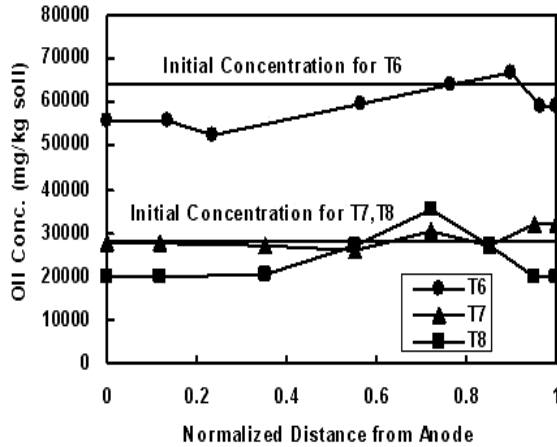


شکل ۱۳. تغییرات حجم کل جریان الکترواسمز با زمان

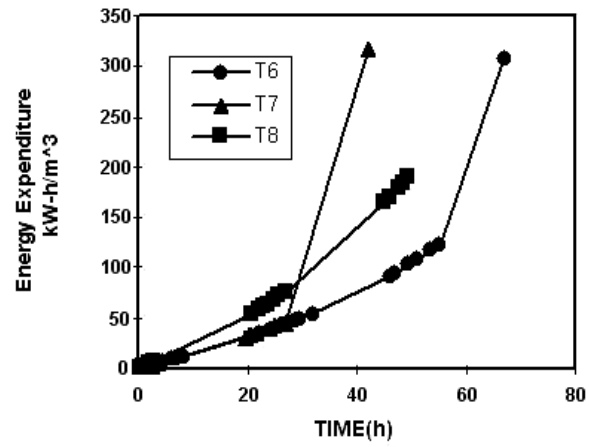
با توجه به شکل ۱۶ در آزمایش ۸ که متابول به درون خاک در حین نمونه‌سازی (به میزان ۱۰۰ بهازی هر کیلوگرم خاک خشک ریخته شده است) دیده می‌شود که در ۴۰ درصد از طول نمونه بیش از ۳۰ درصد از مواد نفتی حرکت کرده و در مناطق نزدیک به کاتد تجمع یافته است. بنابراین بازدهی افزایش یافته اما هنوز مقدار آن کم می‌باشد. در شکل ۱۷ غلظت نهایی به غلظت اولیه در سلول الکتروشیمی و موازنۀ جرم برای هر سه آزمایش دیده می‌شود. مطابق شکل مقدار نفت خارج شده از خاک و انتقال یافته به سلول کاتد بسیار کم است.

#### ۴. بحث و نتیجه‌گیری

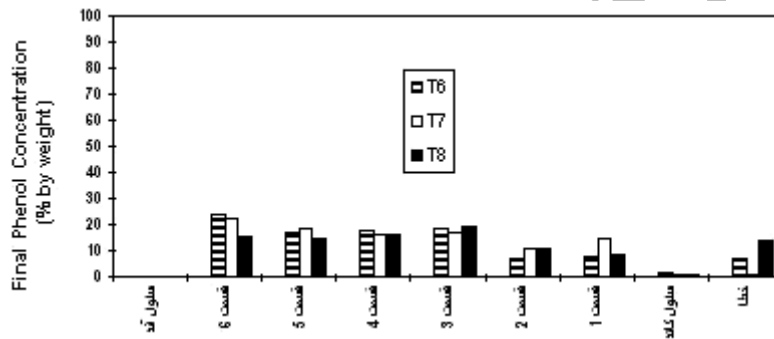
در این تحقیق امکان‌پذیری حرکت فنل و حذف آن از خاک‌های رس بررسی شد. نتایج چند آزمایش با شدت جریان ثابت در زمان تقریباً مساوی (حدود ۵۰ ساعت) بررسی و ارائه گردید و بازدهی روش الکتروکینتیک در هر آزمایش بررسی شد. با توجه به نتایج مشاهده شد بازدهی تابعی از نوع کانی، دانسیته شدت جریان و انرژی اعمال شده می‌باشد. مشارکت نسبی هر کدام از فرایندهای الکترواسمز و مهاجرت یونی در رفع آلودگی مشخص نشده است. نتایج نشان داد که در خاک‌هایی که غلظت کاتیون‌ها کم باشد، جریان الکترواسمز



شکل ۱۶. تغییرات غلظت نفت در سلول کاتد



شکل ۱۵. تغییرات انرژی مصرفی نسبت به زمان



شکل ۱۷. غلظت نهایی به غلظت اولیه در سلول الکتروشیمی و موازنۀ جرم

الکترواسیمز وابسته است. در خاک‌هایی که غلظت یونی زیاد است مهاجرت الکتریکی و واکنش‌های الکتروشیمی نقش مهم‌تری نسبت به جریان الکترواسیمز دارند. ۷- در خاک‌هایی که غلظت یونی آن‌ها کم‌تر است گرadiان الکتریکی سریع‌تر افزایش یافته و مقدار آن برای یک شدت جریان یکسان بزرگ‌تر است. این گرadiان پس از اینکه مقاومت به مقدار ثابتی رسید، ثابت می‌ماند. ۸- دانسیته شدت جریان  $4/42$  برابر رفع فنل از رس سفید کم می‌باشد. با دانسیته جریان  $2/10$  بیش از  $80$  درصد فنل در زمان کوتاهی از خاک سفید خارج گردید. ۹- در رس زرد که غلظت یون آن بالا است دفع فنل نیاز به زمان طولانی‌تری دارد. با دانسیته جریان  $1/7$  فقط  $40$  درصد از فنل از خاک خارج شد. برای درک بهتر از رفتار این خاک نیاز به آزمایش با مدت طولانی‌تر است.

هم‌چنین در این قسمت امکان پذیری حرکت مواد نفتی و حذف آن از خاک‌های رسی بررسی گردید. آزمایش بر روی رس طبیعی آلوده به مواد نفتی صورت گرفت. نتایج نشان داد علی‌رغم وجود جریان الکترواسیمز حرکت مواد نفتی در خاک کم می‌باشد. علت آن قطبی نبودن و حالیت پائین هیدروکربن‌های نفت در آب است. در ضمن چون این مواد به شدت به خاک جذب می‌شوند، بازدهی پائین است. افزایش متابولو به سلول آند تأثیری در بازدهی نداشت. اما افزایش متابولو به درون خود خاک بازدهی را به مقدار جزئی افزایش می‌دهد.

نتایج آزمایش‌ها به طور خلاصه به شرح زیر است: ۱- در همه آزمایش‌ها در کاتد در زمان کوتاه بعد از شروع آزمایش  $\text{OH}^-$  آزاد شده  $\text{pH}$  را به حدود  $12$  افزایش داده است. ۲- در همه آزمایش‌ها در آند  $\text{H}^+$  آزاد شده است. در رس سفید که غلظت یون‌های آن کم‌تر است در دانسیته جریان بیش از  $0/57$   $\text{pH}$  در سلول آند کاهش چندانی نداشته اما برای کم‌تر از این مقدار  $\text{pH}$  به حدود  $2$  رسیده است. در رس زرد  $\text{pH}$  در آند به حدود  $2$  کاهش می‌یابد.

۳- هدایت الکتریکی خاک به نوع کانی و غلظت یون‌های آن بستگی دارد. با افزایش حرکت این یون‌ها و تجمع آنها در سلول کاتد و آند و در خاک نزدیک الکترودها، مقاومت خاک افزایش می‌یابد. در هر دو نوع خاک پس از اینکه مقاومت به حد نهایی خود رسید، ثابت می‌ماند. یعنی بار الکتریکی بیش‌تر توسط سطح ذرات رس منتقل می‌شود. ۴- حجم جریان الکترواسیمز به نوع کانی بستگی داشته و برای دو نمونه رسی در شرایط یکسان (بار الکتریکی و زمان یکسان) با افزایش غلظت یونی خاک، حجم جریان الکترواسیمز کاهش می‌یابد. ۵- انرژی مصرفی وابسته به غلظت یونی کانی است و هر چه غلظت یونی بیش‌تر باشد انرژی کم‌تری مصرف می‌شود. این انرژی به هدایت الکتریکی نمونه نیز وابسته است و با افزایش آن انرژی کم‌تری مصرف می‌شود. ۶- با افزایش ظرفیت جذب کانی بازدهی کاهش می‌یابد. در خاک‌هایی که غلظت یونی کم‌تری دارند بازدهی به جریان

به منظور افزایش بازدهی نیاز به تحقیقات و استفاده از مواد دیگری شبیه مثال می‌باشد.

[7] Acar Y. B., Fazle Rabbi M., "Electrokinetic Injection of Ammonium and Sulfate Ions into sand Kaolinite Beds", Journal of Geotechnical Eng. ASCE, Vol. 123, No.3, 1997.

[8] Thevanayagam S., Rishindran T., "Injection of Nutrients and TEAs in Clayey Soils", Journal of Geotechnical Eng. ASCE, Vol. 124, No. 4, 1998.

[9] Reddy K. R., Saichek Richard E., "Effect of Soil Type on Electrokinetic Removal of Phenanthrene using Surfactants and Cosolvents", Journal of Environmental Engineering, Vol. 129, No. 4, April 2003, pp. 336-346.

[10] Weng C., Yuan C. and Tu H., "Removal of Trichloroethylene from Clay Soil by Series-Electrokinetic Process Practice Periodical of Hazardous, Toxic, and Radioactive Waste Management", Vol. 7, No. 1, January 2003, pp. 25-30.

[11] فلامکی امین، رفع آلودگی از خاک‌های رسی با استفاده از جریان الکتریکی، پایان نامه کارشناسی ارشد، ۱۳۷۸.

[12] Pamukcu S., Wittle J. K., *Electrokinetically Enhanced In Situ Decontamination*, Environmental Science and Pollution Control Series, New York, 1994, PP 245-298.

## مراجع

[1] Mitchell J. K., *Fundamentals of Soil Behaviour*, John Wiley, New York, 1993.

[2] Donnan F. G., "The Theory of Membrane Equilibrium", Chemical Review, Vol. 1, 1924, PP 73-90.

[3] Runnels D. D., Larson J. L., A Laboratory Study of Electromigration As a Possible Field Technique for the Removal of Contaminants from Ground Water, Ground Water Monit. Rev., vol. 6, No. 3, summer, 1986, pp. 85-91.

[4] Clifford J. B., Burton A. S. and Matthew T. W., "Electroosmotic Removal of Gasoline Hydrocarbons and TCE from Clay", Journal of Geotechnical Eng. ASCE, Vol. 118, No 1, 1992.

[5] Pamukcu S., Wittle J. K., *Remediation of Hazardous Waste Contaminated Soils*, Marcel Dekker, Inc., 1994, PP 245-298.

[6] Shariatmadari N., "Decontamination of Zinc Polluted Kaolinite With Electrokinetic Process", Ph. D Dissertation, University of Ottawa, 1996.